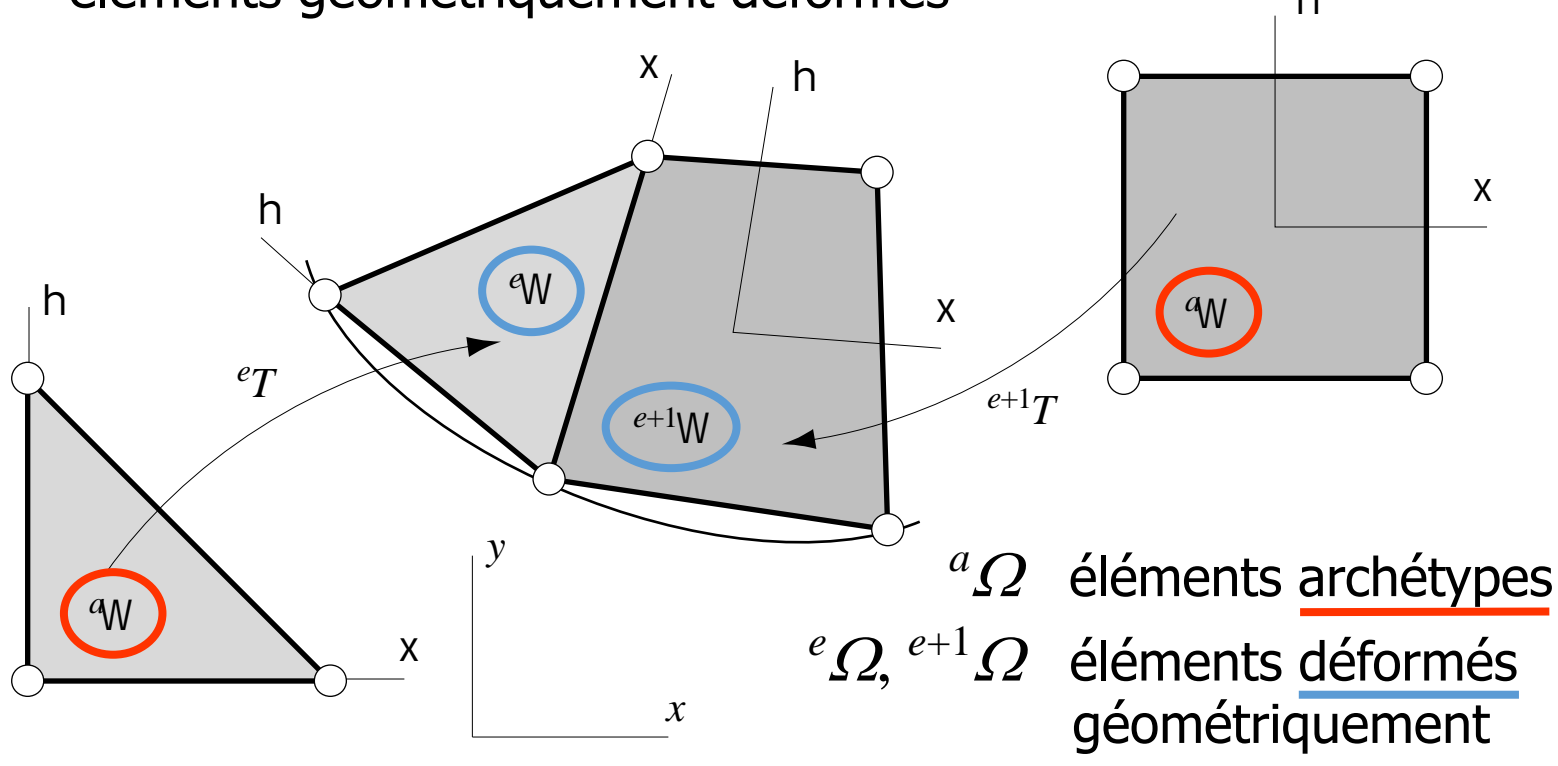
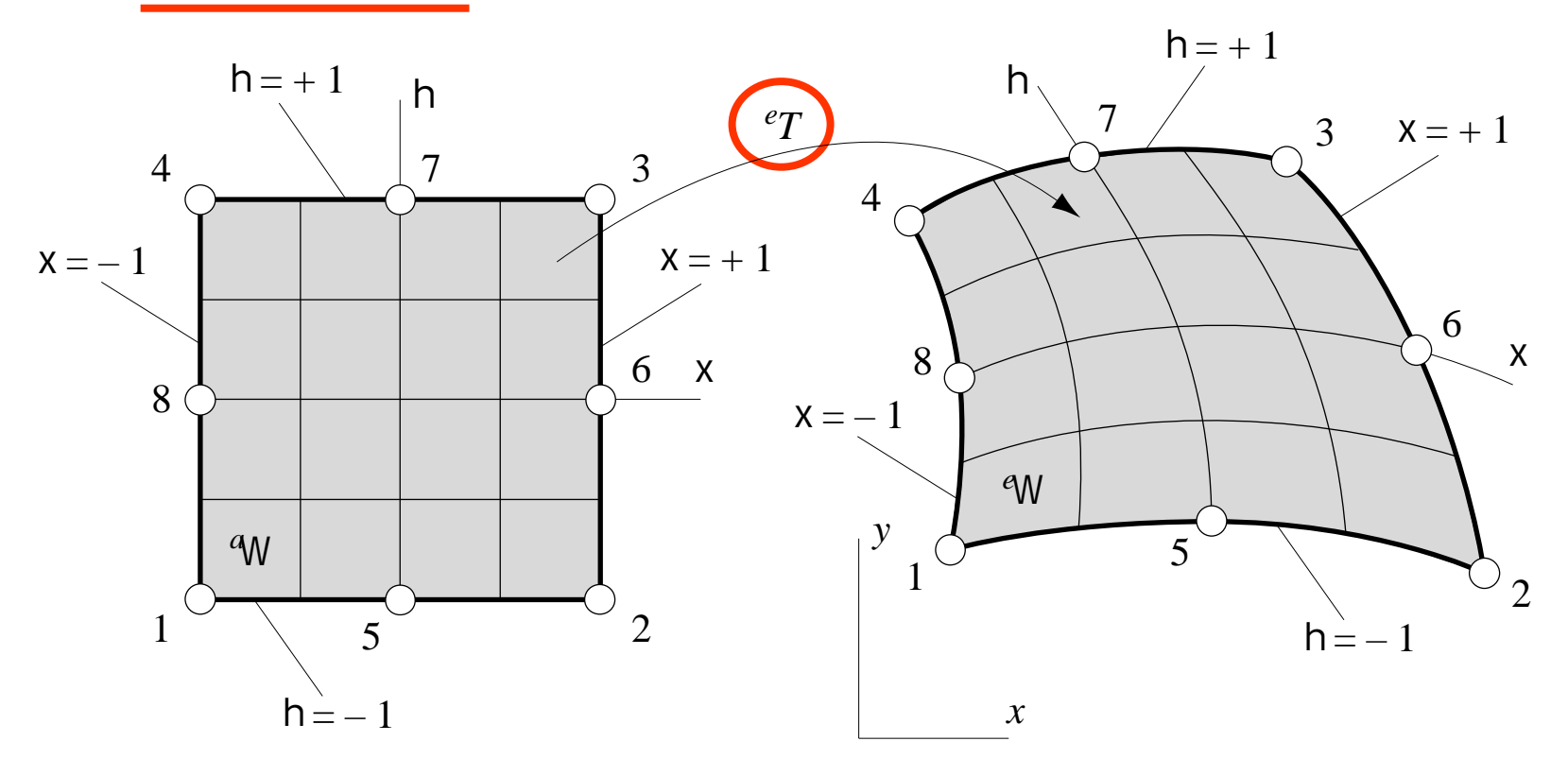
Méthode des éléments finis Formulation intégrale des problèmes aux limites bidimensionnels

Prof. F. Gallaire

 Transformation des éléments finis de forme régulière en éléments géométriquement déformés



Transformation de coordonnées



Transformation de coordonnées bidimensionnelle

$$e^{T}:$$
 $x = x(\xi, \eta)$
 $y = y(\xi, \eta)$



 ${}^eT: \begin{array}{c} x = x(\xi, \eta) \\ y = y(\xi, \eta) \end{array}$ Choix des fonctions assurant le changement de repère

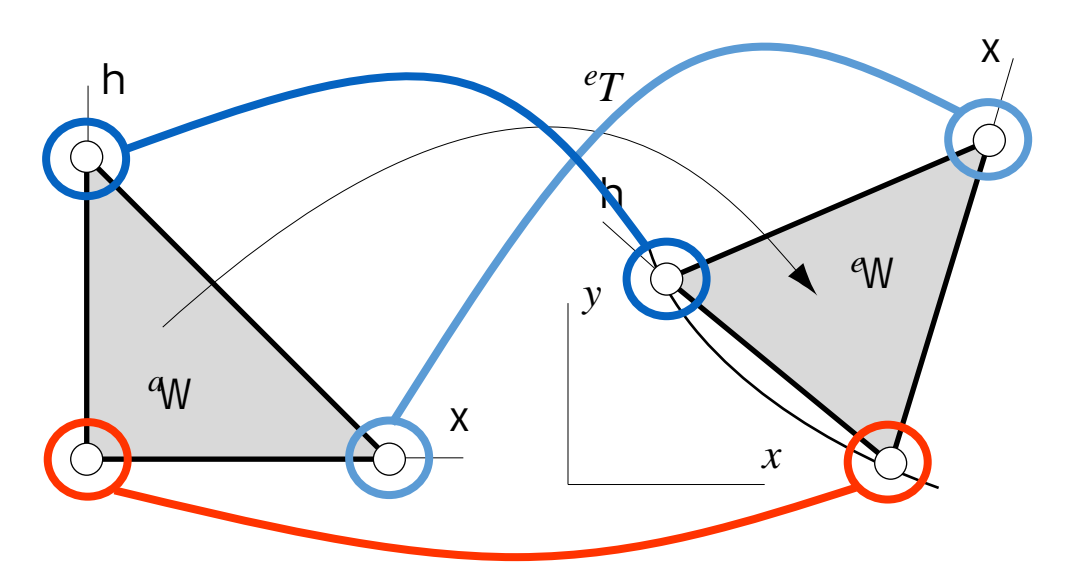
Choix d'une transformation basée sur les fonctions de base de l'élément père

$$x = \sum_{i=1}^{e_p} a_{i}(\xi, \eta) e_{i}$$
 Fonctions de base
$$y = \sum_{i=1}^{e_p} a_{i}(\xi, \eta) e_{i}$$
 Confusion des indices
$$e_{i}(\xi, \eta) e_{i}$$
 coordonnées nodales





- Avantages de la forme choisie pour la transformation
 - Fonctions de base déjà déterminées pour la solution approchée
 - Transformation régulière (régularité des fonctions de base)
 - Correspondance des nœuds des éléments archétype et déformé



 Correspondance nœud à nœud : univocité de la transformation de coordonnées

$${}^{e}T: \mathbf{x} = \sum_{i=1}^{e_{p}} {}^{a}h_{i}(\xi, \eta) {}^{e}\mathbf{x}_{i} \qquad \mathbf{x} = \{x, y\}^{T}$$
 ${}^{e}\mathbf{x}_{i} = \{e_{x_{i}}, e_{y_{i}}\}^{T}$

$$\Rightarrow \mathbf{x}(\xi_j, \eta_j) = \sum_{i=1}^{e_p} a_{i}(\xi_j, \eta_j)^e \mathbf{x}_i = \sum_{i=1}^{e_p} \delta_{ij}^e \mathbf{x}_i = e_{\mathbf{x}_j}$$

Position du nœud *j* dans l'élément père

Continuité restreinte des fonctions de base

Coordonnées du nœud j de l'élément déformé



$$\Rightarrow$$
 diminution de l'erreur $\Omega - \Omega^h$

Effet de la transformation de coordonnées sur l'approximation

$$eu^{h}(x, y) = \sum_{i=1}^{e_{p}} {}^{e}h_{i}(x, y) e^{q}q_{i} = {}^{e}\mathbf{H}(x, y) e^{q}q_{i}$$

$$eu^{h}[x(\xi, \eta), y(\xi, \eta)] = \sum_{i=1}^{e_{p}} {}^{a}h_{i}(\xi, \eta) e^{q}q_{i} = {}^{a}\mathbf{H}(\xi, \eta) e^{q}q_{i}$$

avec

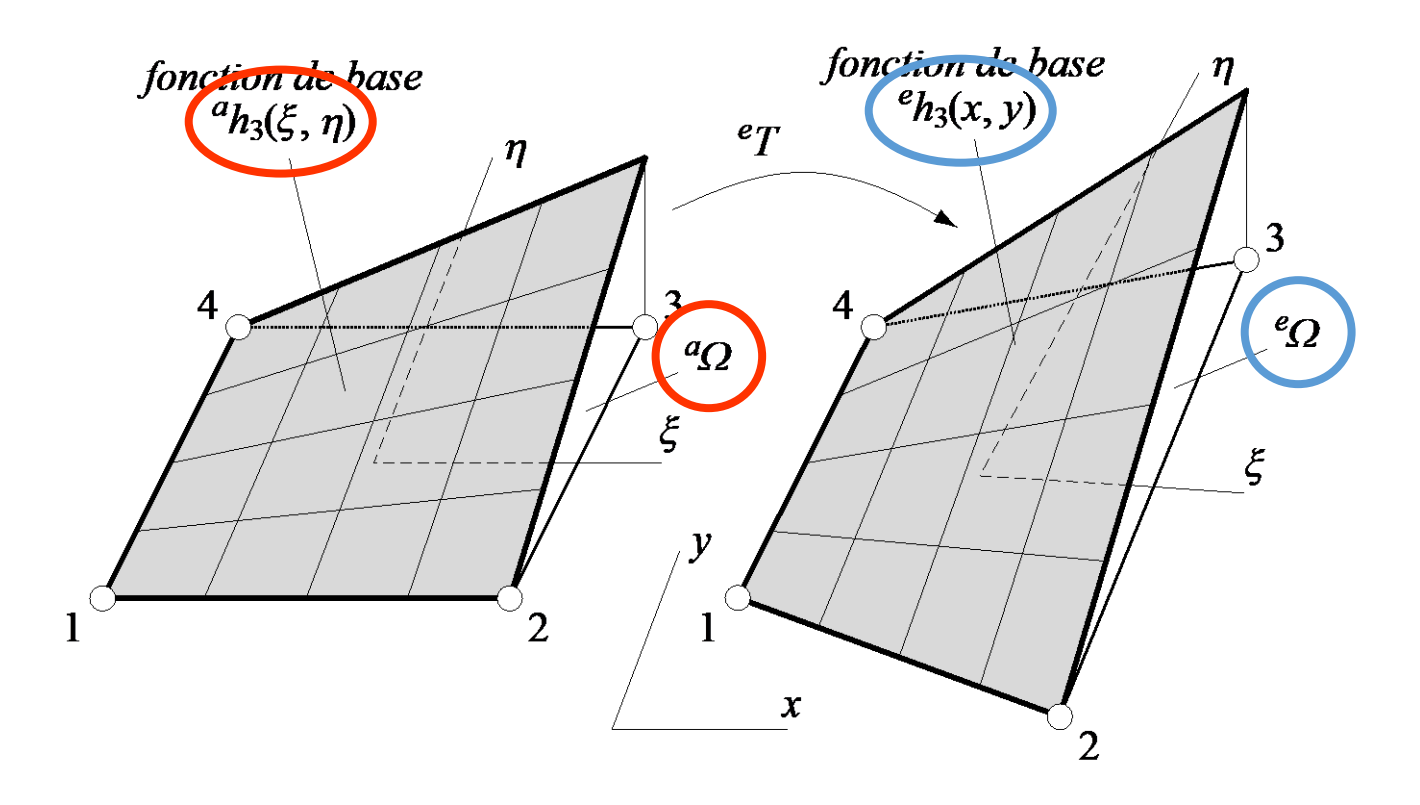
$$(a\mathbf{H}) = [ah_1, ah_2, ..., ah_{e_p}]$$
 de l'élément père

$$e\mathbf{q} = \{eq_1, eq_2, ..., eq_{e_p}\}^T$$
 vecteur des ep

matrice $(1 \times {}^{e}p)$ des fonctions de base de l'élément père

vecteur des ^ep températures discrètes dans l'élément déformé

Transformation des fonctions de base



Transformation de coordonnées inverse h = +1h = +1h X = +14 X = +1X = -16 Χ 6 X 8 X = -1eW y $^{a}\!\mathbb{W}$ 2 h = -1 eT^{-1} Existence h = -1 \boldsymbol{x} $de^{e}T^{-1}$?

- Condition d'existence de la transformation inverse (biunivocité de la transformation de coordonnées)
 - Transformation paramétrique inverse

$$^{e}T^{-1}:$$
 $\xi=\xi(x,y)$ $\eta=\eta(x,y)$

Dérivation par rapport aux coordonnées naturelles

$$\begin{bmatrix} \partial/\partial\xi \\ \partial/\partial\eta \end{bmatrix} = \begin{bmatrix} \partial x/\partial\xi & \partial y/\partial\xi \\ \partial x/\partial\eta & \partial y/\partial\eta \end{bmatrix} \begin{bmatrix} \partial/\partial x \\ \partial/\partial y \end{bmatrix} = \mathbf{G} \begin{bmatrix} \partial/\partial x \\ \partial/\partial y \end{bmatrix}$$

 $^e\mathbf{J}$ matrice jacobienne de la transformation

Dérivation par rapport aux coordonnées spatiales

$$\begin{cases}
\frac{\partial}{\partial x} \\
\frac{\partial}{\partial y}
\end{cases} = \begin{bmatrix}
\frac{\partial \xi}{\partial x} & \frac{\partial \eta}{\partial x} \\
\frac{\partial \xi}{\partial y} & \frac{\partial \eta}{\partial y}
\end{bmatrix} \begin{bmatrix}
\frac{\partial}{\partial \xi} \\
\frac{\partial}{\partial \eta}
\end{bmatrix} = {}^{e}\mathbf{J}^{-1} \begin{bmatrix}
\frac{\partial}{\partial \xi} \\
\frac{\partial}{\partial \eta}
\end{bmatrix}$$

$$= \mathbf{J} \begin{bmatrix}
\frac{\partial y}{\partial \eta} & -\frac{\partial y}{\partial \xi} \\
-\frac{\partial x}{\partial \eta} & \frac{\partial x}{\partial \xi}
\end{bmatrix} \begin{bmatrix}
\frac{\partial}{\partial \xi} \\
\frac{\partial}{\partial \eta}
\end{bmatrix} \begin{bmatrix}
\frac{e}{j} = \det({}^{e}\mathbf{J}) \\
\frac{\partial}{\partial \eta}
\end{bmatrix}$$
jacobien de la transformation

Condition d'existence de la transformation

$$e_j = \frac{\partial x}{\partial \xi} \frac{\partial y}{\partial \eta} - \frac{\partial x}{\partial \eta} \frac{\partial y}{\partial \xi} \neq 0
\forall \xi, \eta \in {}^a \Omega$$
Repère droit
$$\Rightarrow {}^e j > 0$$



Calcul de la matrice jacobienne

$$e\mathbf{J} = \begin{bmatrix} \frac{\partial x}{\partial \xi} & \frac{\partial y}{\partial \xi} \\ \frac{\partial x}{\partial \eta} & \frac{\partial y}{\partial \eta} \end{bmatrix}$$
 Evaluation explicite de la matrice jacobienne
$$\frac{\partial x}{\partial \xi} = \sum_{i=1}^{ep} ex_i \frac{\partial^a h_i}{\partial \xi} \qquad \frac{\partial y}{\partial \xi} = \sum_{i=1}^{ep} ey_i \frac{\partial^a h_i}{\partial \xi}$$

$$\frac{\partial x}{\partial \eta} = \sum_{i=1}^{ep} ex_i \frac{\partial^a h_i}{\partial \eta} \qquad \frac{\partial y}{\partial \eta} = \sum_{i=1}^{ep} ey_i \frac{\partial^a h_i}{\partial \eta}$$

$$\mathbf{P} \mathbf{J} = e^{\mathbf{J}}(\xi, \eta)$$

Calcul du jacobien (déterminant de la matrice jacobienne)

$$e_j = \frac{\partial x}{\partial \xi} \frac{\partial y}{\partial \eta} - \frac{\partial x}{\partial \eta} \frac{\partial y}{\partial \xi}$$

$$= \sum_{i=1}^{e_p} e_{x_i} \frac{\partial^a h_i}{\partial \xi} \cdot \sum_{i=1}^{e_p} e_{y_i} \frac{\partial^a h_i}{\partial \eta}$$



$$\stackrel{e}{=} i = \stackrel{e}{=} j(\xi, \eta) \qquad - \sum_{i=1}^{e} e x_i \frac{\partial^a h_i}{\partial \eta} \cdot \sum_{i=1}^{e} e y_i \frac{\partial^a h_i}{\partial \xi}$$



Utilité de ej ? Contrôle de l'univocité et calcul de $\mathrm{d}x\mathrm{d}y$

Calcul de la matrice jacobienne inverse

$${}^{e}\mathbf{J}^{-1} = \begin{bmatrix} \partial \xi/\partial x & \partial \eta/\partial x \\ \partial \xi/\partial y & \partial \eta/\partial y \end{bmatrix}$$



Inversion explicite de la matrice jacobienne

-97-

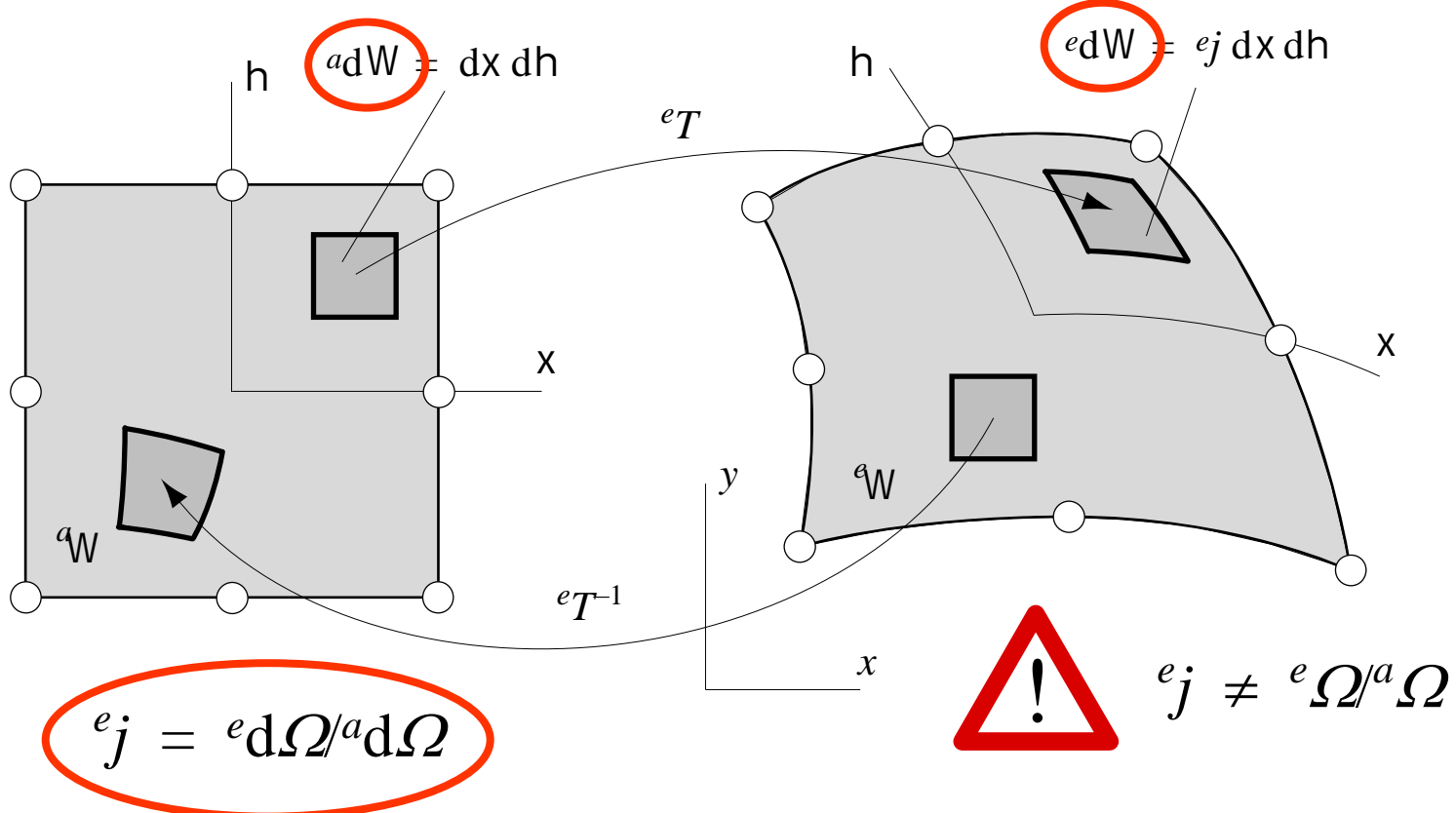
$$\frac{\partial \xi}{\partial x} = \frac{1}{e_j} \sum_{i=1}^{e_p} e_{y_i} \frac{\partial^a h_i}{\partial \eta} \qquad \frac{\partial \eta}{\partial x} = \frac{-1}{e_j} \sum_{i=1}^{e_p} e_{y_i} \frac{\partial^a h_i}{\partial \xi}$$

$$\frac{\partial \xi}{\partial y} = \frac{-1}{e_j} \sum_{i=1}^{e_p} e_{x_i} \frac{\partial^a h_i}{\partial \eta} \qquad \frac{\partial \eta}{\partial y} = \frac{1}{e_j} \sum_{i=1}^{e_p} e_{x_i} \frac{\partial^a h_i}{\partial \xi}$$



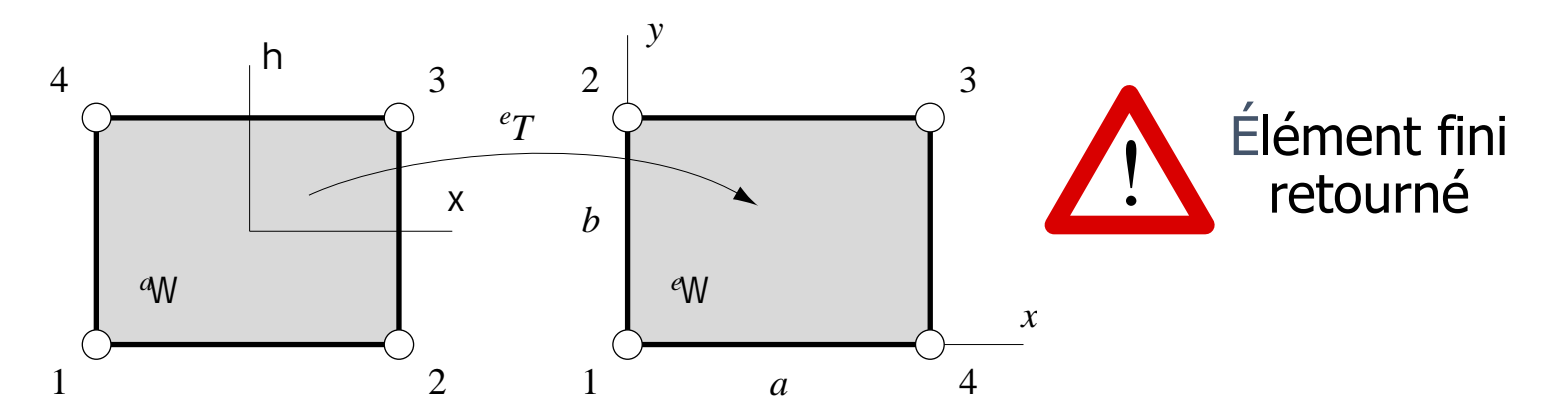
Utilité de ${}^e\mathbf{J}^{-1}$? Calcul de $\mathbf{\nabla}^e\mathbf{H}$

Interprétation géométrique du jacobien



06/12/2018 -98-

Jacobien négatif sur tout l'élément archétype

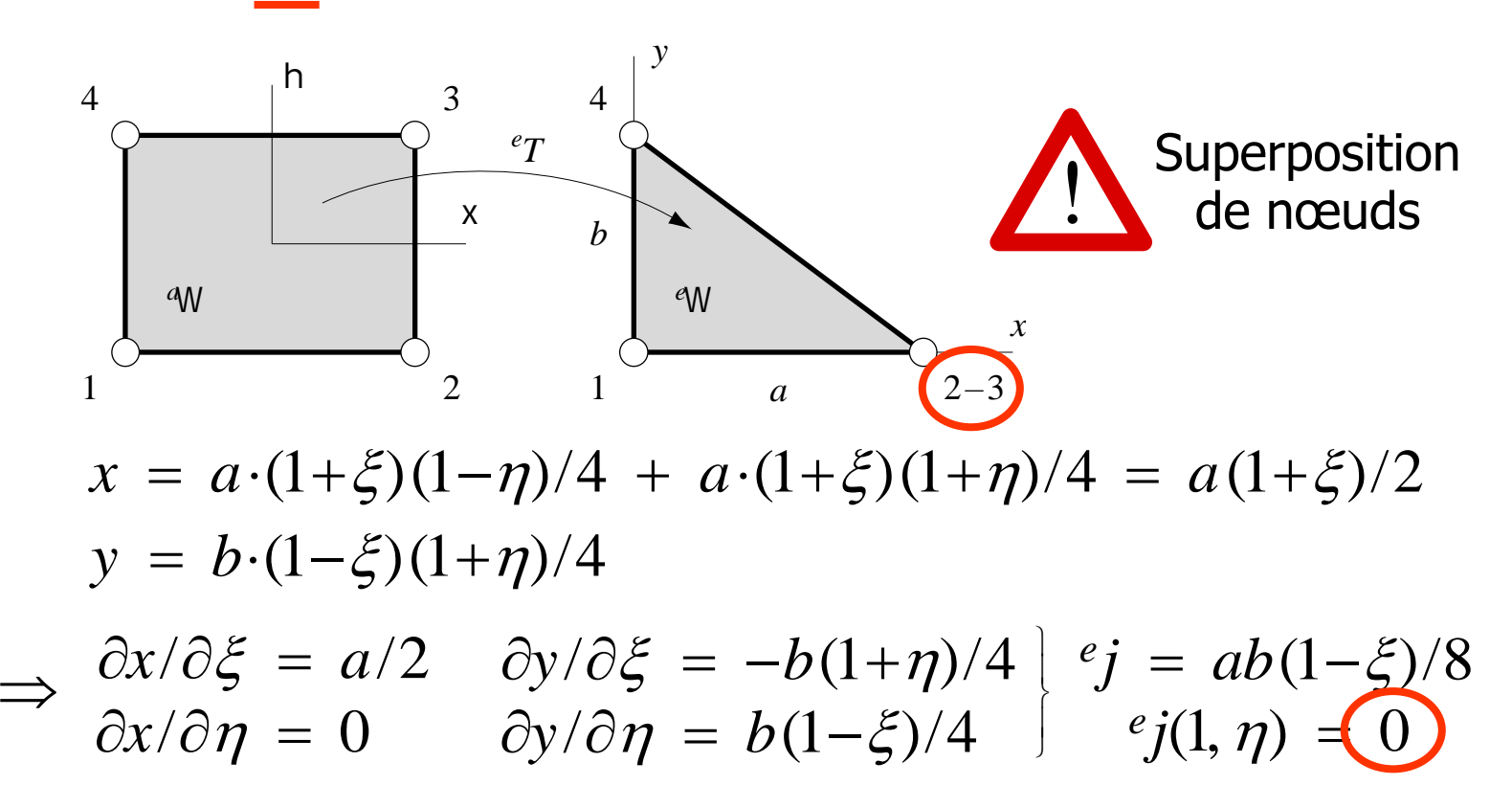


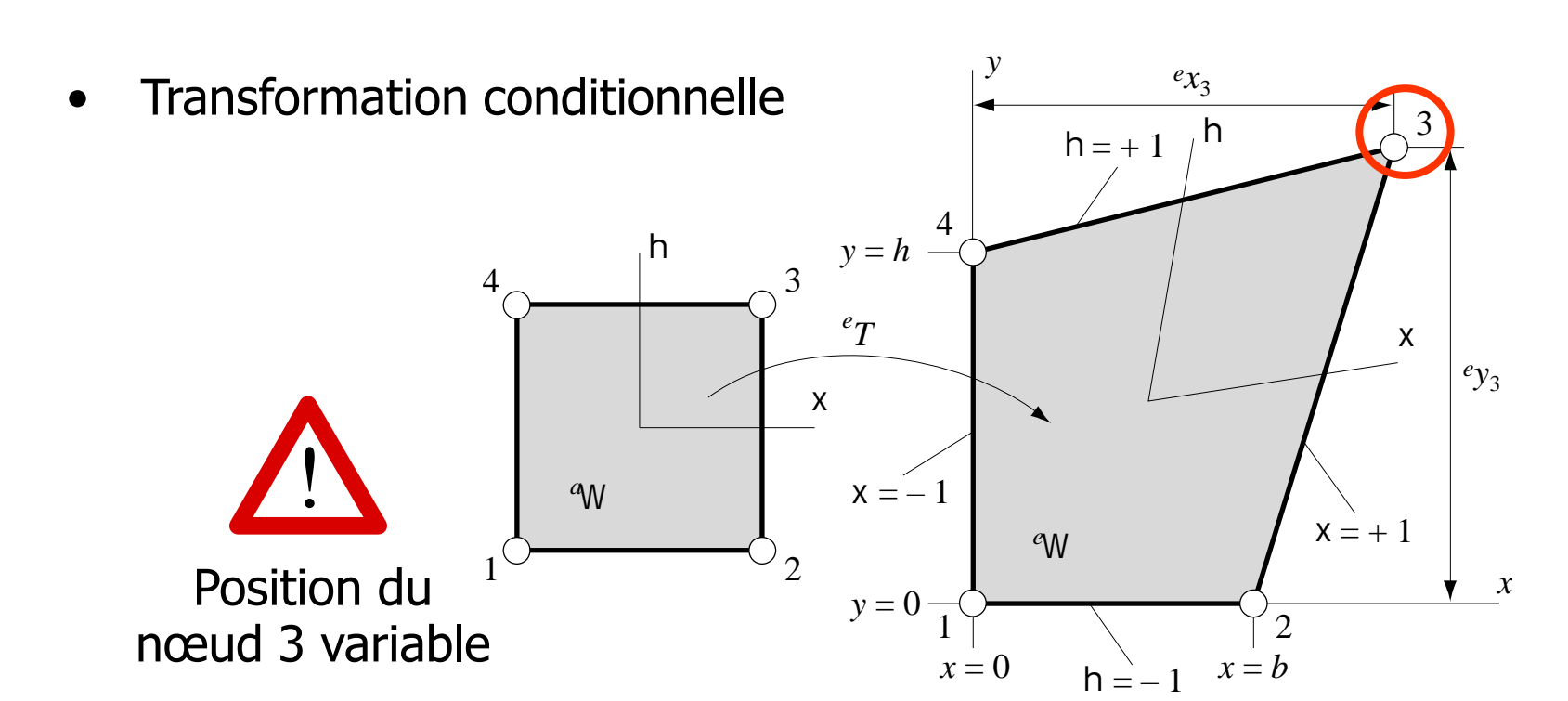
$$x = a \cdot (1+\xi)(1+\eta)/4 + a \cdot (1-\xi)(1+\eta)/4 = a(1+\eta)/2$$

$$y = b \cdot (1+\xi)(1-\eta)/4 + b \cdot (1+\xi)(1+\eta)/4 = b(1+\xi)/2$$

$$\Rightarrow \begin{cases} \frac{\partial x}{\partial \xi} = 0 & \frac{\partial y}{\partial \xi} = b/2 \\ \frac{\partial x}{\partial \eta} = a/2 & \frac{\partial y}{\partial \eta} = 0 \end{cases} \quad \text{if } = -ab/4$$

Jacobien nul en un point de l'élément archétype





$${}^{e}T: \begin{cases} x = b \cdot (1+\xi)(1-\eta)/4 + {}^{e}x_{3} \cdot (1+\xi)(1+\eta)/4 \\ y = {}^{e}y_{3} \cdot (1+\xi)(1+\eta)/4 + h \cdot (1-\xi)(1+\eta)/4 \end{cases}$$

Recherche du jacobien de la transformation

$$\frac{\partial x/\partial \xi}{\partial x/\partial \eta} = \frac{[b + ex_3 - \eta(b - ex_3)]}{4}$$

$$\frac{\partial x/\partial \eta}{\partial y/\partial \xi} = \frac{(1 + \xi)(ex_3 - b)}{4}$$

$$\frac{\partial y/\partial \xi}{\partial y/\partial \eta} = \frac{[h + ey_3 - \xi(h - ey_3)]}{4}$$

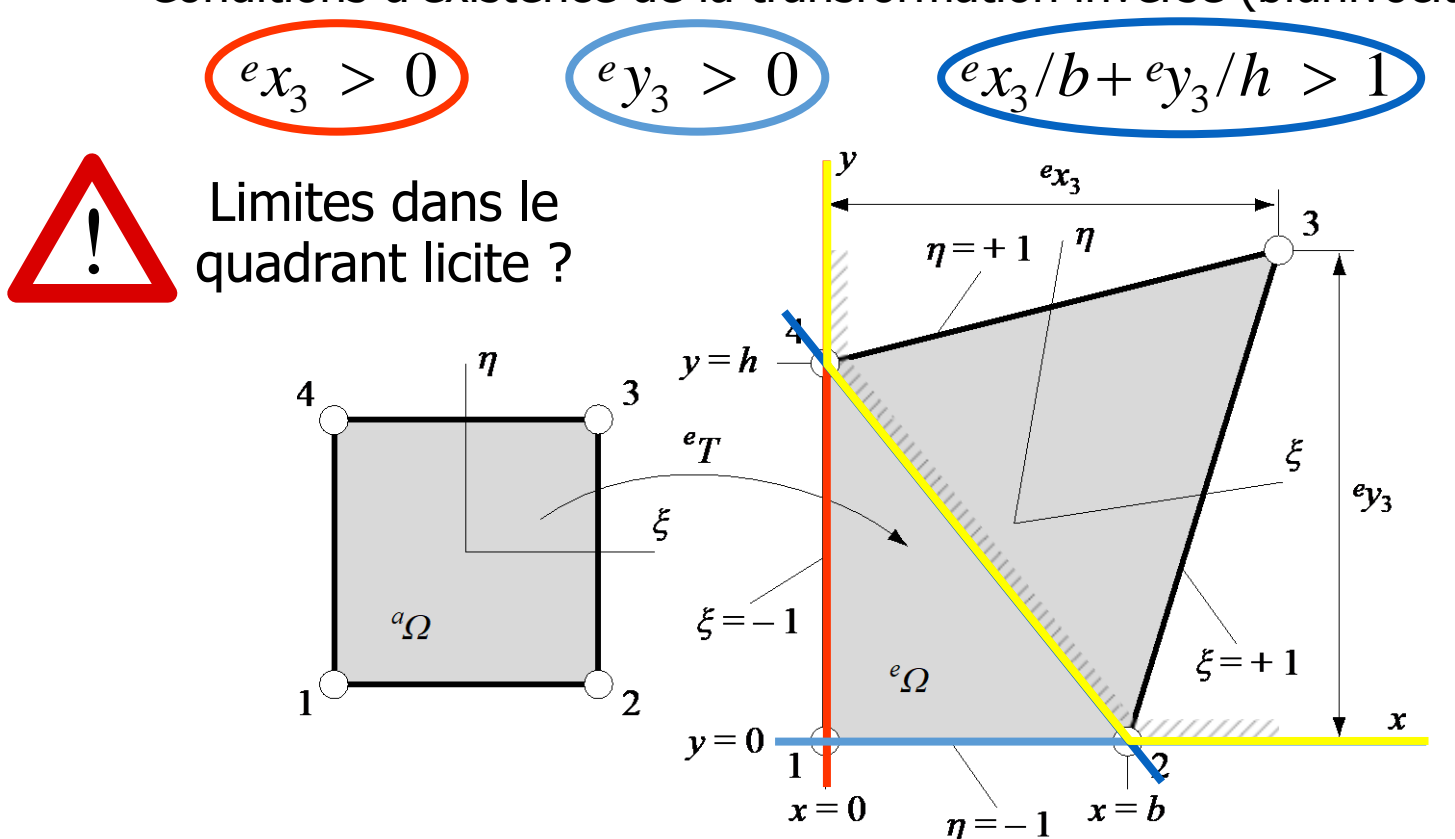
$$\Rightarrow ej(\xi, \eta) = \frac{[b ey_3(1 + \xi) + h ex_3(1 + \eta) - bh(\xi + \eta)]}{8}$$



Jacobien bilinéaire ⇒ Contrôle aux nœuds

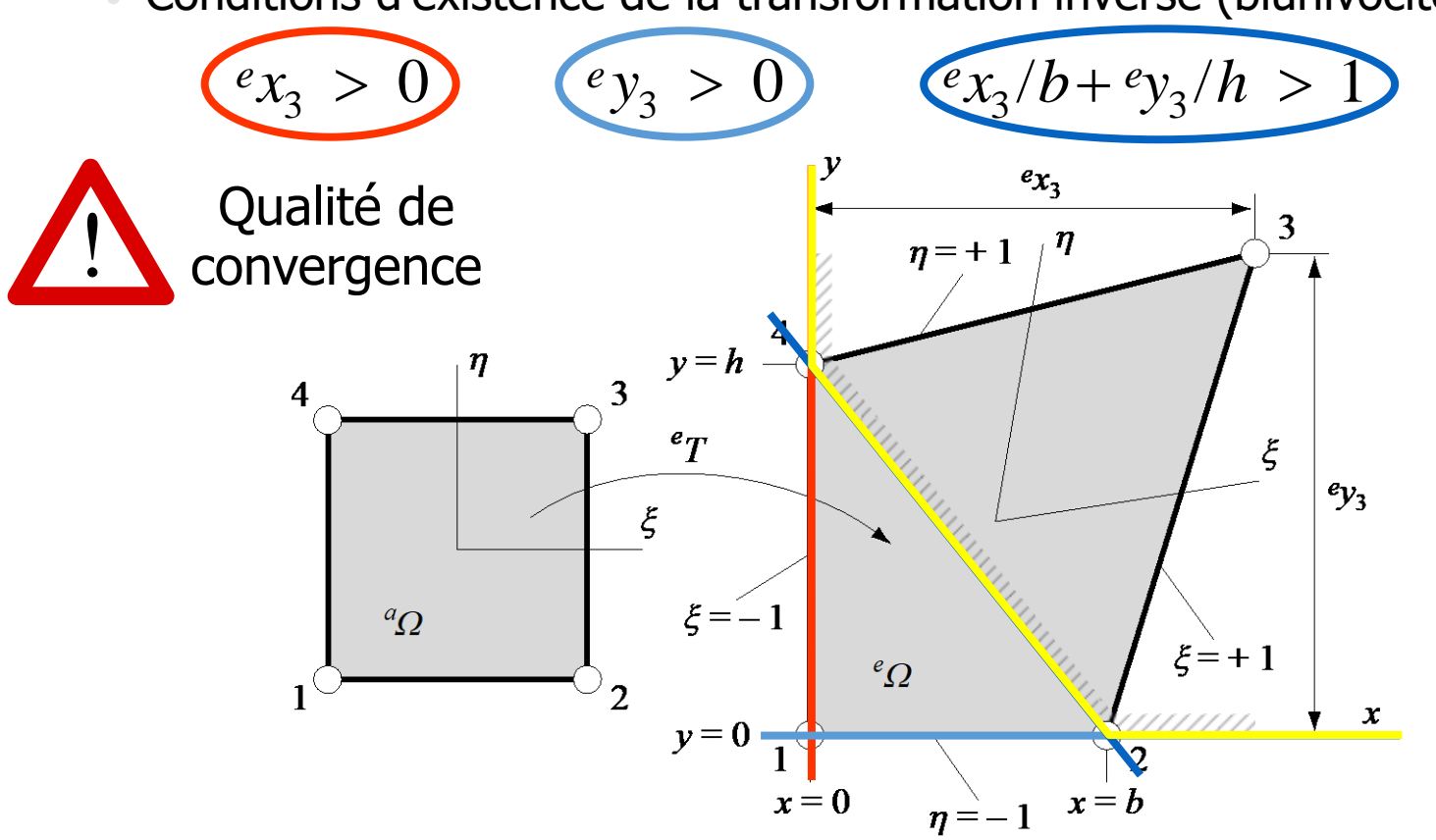
$$e^{i}j(-1,-1) = bh/4$$
 $e^{i}j(+1,-1) = be^{i}y_3/4$
 $e^{i}j(-1,+1) = he^{i}x_3/4$ $e^{i}j(+1,+1) = (he^{i}x_3+be^{i}y_3-bh)/4$

Conditions d'existence de la transformation inverse (biunivocité)



-103-

Conditions d'existence de la transformation inverse (biunivocité)



Cas particulier de transformation illicite

